

В. В. МАЛЫШЕВ, Д. С. КАБАНОВ

АЛГОРИТМ КОРРЕКЦИИ СТРУКТУРЫ УПРАВЛЕНИЯ АВТОМАТИЧЕСКИМ ПОДВОДНЫМ АППАРАТОМ ДЛЯ ПОСТРОЕНИЯ ОБЛАСТИ ДОСТИЖИМОСТИ

Рассматривается алгоритм коррекции структуры управления автоматическим подводным аппаратом, полученной с использованием принципа максимума, для построения области достижимости. Приведены результаты численного моделирования и сравнительного анализа алгоритма с решением задачи методом Крылова — Черноусько.

Ключевые слова: принцип максимума, прогнозирующая модель, область достижимости, автоматический подводный аппарат.

При решении задач управления автоматическим подводным аппаратом в ряде случаев (например, при оценке его маневренных возможностей с учетом ограничений на перегрузки, расход топлива, скорость движения, а также при решении игровых задач о встрече движений) возникает проблема построения областей достижимости (ОД), исследованию которой посвящено множество работ (см. например, [1—3]). Построение ОД в темпе движения подводного аппарата затруднительно, так как необходимо обеспечить надежную сходимость решения двухточечных краевых задач. Для преодоления этих трудностей предлагается использовать алгоритм коррекции структуры управления [4], полученной с использованием принципа максимума [5, 6], с помощью которого вычисляются граничные точки ОД.

В настоящей статье рассматривается задача управления центром масс автоматического подводного аппарата (далее — ПА) на основе критерия, характеризующего удаление ПА на максимальное расстояние от точки старта в выбранном направлении с учетом ограничения на управление (выпуклая часть границы ОД). Полагается, что вектор состояния ПА точно известен в любой момент времени. При этом выявляется структура оптимального управления, использование которой предусматривает вычисление сигнала управления по различным формулам на соответствующих участках интервала оптимизации.

Требуется найти такую программу изменения нормальной перегрузки $n_y(t)$ [7, 8], которая позволит обеспечить за время t_f перевод ПА из начального положения в вертикальной плоскости в максимально удаленное от точки старта положение в выбранном направлении движения, заданном единичным вектором \mathbf{b} и углом ξ его наклона относительно стартовой системы координат. На величину перегрузки n_y накладывается ограничение. Построение

выпуклой части границы области достижимости автоматического ПА осуществляется путем изменения угла ξ [1, 3].

При такой формулировке требований к управляемому движению ПА становится возможным удерживать его в эксплуатационной области, которая формируется исходя из условий достижения максимальной дальности хода в выбранном направлении и обеспечения безопасности функционирования объекта управления при заданных конструктивных ограничениях на прочность ПА. В качестве управляющего воздействия (сигнала) выбирается перегрузка n_y .

Для упрощения описания алгоритма управления положим [4], что скорость ПА изменяется незначительно в процессе маневра. Уравнения движения центра масс ПА в вертикальной плоскости имеют следующий вид [7, 8]:

$$\dot{\theta} = \frac{g}{V}(n_y - \cos \theta); \quad \dot{x} = V \cos \theta; \quad \dot{y} = V \sin \theta, \quad (1)$$

где $(\theta \ x \ y)^T = \mathbf{X}$ — вектор состояния ПА; θ — угол наклона траектории ПА; x , y — продольная дальность движения и глубина погружения ПА соответственно; V — скорость ПА; g — ускорение свободного падения.

Граничные условия задачи: $\theta(0) = \theta_0$, $x(0) = x_0$, $y(0) = y_0$, где θ_0 , x_0 , y_0 — заданные величины.

При построении выпуклой части границы ОД осуществляется минимизация критерия оптимальности, характеризующего точку касания границы ОД с прямой, перпендикулярной направлению вектора \mathbf{b} [1, 3]:

$$J = F[\mathbf{X}(t_f)] = -\mathbf{b}^T \mathbf{X}(t_f) = -x(t_f) \cos \xi - y(t_f) \sin \xi, \quad (2)$$

где $\mathbf{b}^T = [0 \ \cos \xi \ \sin \xi]$.

Для формирования структуры оптимального управления обратимся к необходимым условиям оптимальности [5, 6, 9, 10]. Запишем гамильтониан для системы (1) с критерием качества (2):

$$H = \psi_\theta \frac{g}{V}(n_y - \cos \theta) + \psi_x V \cos \theta + \psi_y V \sin \theta,$$

где $(\psi_\theta \ \psi_x \ \psi_y)^T = \Psi$ — вектор сопряженных переменных [5].

В соответствии с принципом максимума сопряженные переменные определяются из уравнения $\dot{\Psi} = -\left(\frac{\partial H}{\partial \mathbf{X}}\right)^T$, или в поэлементном виде:

$$\dot{\psi}_\theta = -\psi_\theta \frac{g}{V} \sin \theta + \psi_x V \sin \theta - \psi_y V \cos \theta, \quad \dot{\psi}_x = 0, \quad \dot{\psi}_y = 0, \quad (3)$$

с граничными условиями $\Psi(t_f) = \left(\frac{\partial F[\mathbf{X}(t_f)]}{\partial \mathbf{X}}\right)^T$, а сигнал управления определяется из условия

инф $\inf_{n_y \in [-n_{y_m}, n_{y_m}]} H(\mathbf{X}, \Psi, n_y, t) = H(\mathbf{X}, \Psi, n_{y_{oc}}, t)$. При существовании конечного интервала времени, на котором $\psi_\theta = 0$, требуется ввести „особое“ управление $n_{y_{oc}}$. Тогда

$$n_y = \begin{cases} -n_{y_m} \operatorname{sgn}(\psi_\theta) & \text{при } \psi_\theta \neq 0; \\ n_{y_{oc}} & \text{при } \psi_\theta = 0 \text{ для } t \in [\tau_1, \tau_2], \end{cases} \quad (4)$$

а „особое“ управление $n_{y_{oc}}$ согласно условию $\frac{d^2}{dt^2} \left(\frac{\partial H}{\partial n_y} \right) = 0$ [10] характеризуется выражением

$$n_{y_{oc}} = \frac{g\psi_\theta - V^2\psi_x}{g\psi_\theta \cos \theta - V^2\psi_x \cos \theta - V^2\psi_y \sin \theta}.$$

Здесь n_{y_m} — предельное значение перегрузки, $\tau_1, \tau_2 \in [0, t_f]$ — моменты, ограничивающие интервал времени нахождения ПА на траектории, соответствующей предельным углам ее наклона.

„Особое“ управление возникает в случае, когда $\psi_\theta = 0$ и $\dot{\psi}_\theta = 0$ на интервале $[\tau_1, \tau_2]$. Тогда $\dot{\psi}_\theta = \psi_x V \sin \theta - \psi_y V \cos \theta$, и с учетом уравнений (3) при граничных условиях $\psi_x(t_f) = -\cos \xi$, $\psi_y(t_f) = -\sin \xi$ получаем $V(-\cos \xi) \sin \theta + V(\sin \xi) \cos \theta = 0$, откуда $\sin(\xi - \theta) = 0$, тогда $n_{y_{oc}} = \cos \xi$.

Решение краевой задачи (1), (3), (4) методом Ньютона [4, 11, 12] связано с вычислительными трудностями, обусловленными поиском начального приближения для сопряженного вектора $\Psi(0)$ и обеспечением сходимости алгоритма при изменении граничных условий задачи оптимизации. Для преодоления этих трудностей рассмотрим следующую вспомогательную задачу оптимизации. Представим сигнал управления n_y в общем виде [4], когда возможно несколько переключений (например, два):

$$n_y = -n_{y_m} \operatorname{sgn}(\psi_{\theta_0}) + \Delta n_{y_1} l(t, \tau_1) + \Delta n_{y_2} l(t, \tau_2),$$

где $\psi_{\theta_0} = \psi_\theta(0)$, $\Delta n_{y_1} = n_{y_m} \operatorname{sgn}(\psi_{\theta_0}) + n_{y_{oc}}$, $\Delta n_{y_2} = -n_{y_{oc}} + n_{y_m} \operatorname{sgn}(\psi_{\theta_0})$, а $l(t, \tau_1)$, $l(t, \tau_2)$ — функции вида

$$l(t, t_1) = \frac{1}{2} + \frac{1}{\pi} \operatorname{arctg}(k(t - t_1)),$$

Здесь k — коэффициент, при неограниченном возрастании которого функция $l(t, t_1)$ приближается к единичной функции Хэвисайда (для задач с управлением релейного типа аналогичная структура рассмотрена в работах [5, 8, 9]).

На рис. 1 приведен график функции $l(t, t_1)$ при $t_1 = 4$, $k = 10\,000$.

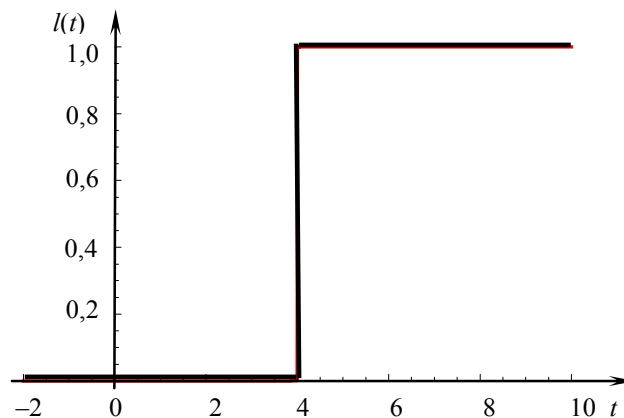


Рис. 1

Моменты переключения τ_1 и τ_2 функции $n_y(t)$ будем рассматривать в качестве компонент расширенного вектора состояния объекта, а в качестве сигналов управления выберем производные от τ_1 и τ_2 по времени. Тогда динамика объекта управления может быть представлена уравнениями

$$\dot{\theta} = \frac{g}{V} \left(-n_{y_m} \operatorname{sgn}(\psi_{\theta_0}) + \Delta n_{y_1} l(t, \tau_1) + \Delta n_{y_2} l(t, \tau_2) - \cos \theta \right), \quad (5)$$

$$\dot{x} = V \cos \theta, \quad \dot{y} = V \sin \theta, \quad \dot{\tau}_1 = w_1, \quad \dot{\tau}_2 = w_2.$$

Здесь $(w_1 \ w_2)^T = \mathbf{w}$ — вектор управления во вспомогательной задаче оптимизации. Таким образом, управление осуществляется косвенно — через вектор управления \mathbf{w} .

Для поиска оптимальной траектории движения автоматического ПА предлагается использовать алгоритм коррекции структуры управления с помощью прогнозирующей модели [5, 8, 9]. В отличие от указанных работ, в рассматриваемой в данной статье структуре управления имеется „особое“ управление $n_{y_{oc}} = \cos \xi$.

В соответствии с алгоритмом на основе прогнозирующей модели в качестве критерия оптимальности выберем функционал Красовского [5]:

$$J_1 = F[\mathbf{X}(t_f)] + \frac{1}{2} \int_0^{t_f} \mathbf{w}^T \cdot \mathbf{k}_w^{-2} \cdot \mathbf{w} dt + \frac{1}{2} \int_0^{t_f} \mathbf{w}_{\text{опт}}^T \cdot \mathbf{k}_w^{-2} \cdot \mathbf{w}_{\text{опт}} dt, \quad (6)$$

где $F[\mathbf{X}(t_f)] = -x(t_f) \cos \xi - y(t_f) \sin \xi$; $\mathbf{w}_{\text{опт}}$ — оптимальное значение вектора управления \mathbf{w} , $\mathbf{w}_{\text{опт}} = (w_{1\text{опт}} \ w_{2\text{опт}})^T$, $\mathbf{k}_w^2 = \operatorname{diag}(k_{w_1}^2, k_{w_2}^2)$, коэффициенты $k_{w_1}^2$ и $k_{w_2}^2$ определяются моделированием при отладке вычислительного алгоритма.

Введение слагаемых $\frac{1}{2} \int_0^{t_f} \mathbf{w}^T \cdot \mathbf{k}_w^{-2} \cdot \mathbf{w} dt$ и $\frac{1}{2} \int_0^{t_f} \mathbf{w}_{\text{опт}}^T \cdot \mathbf{k}_w^{-2} \cdot \mathbf{w}_{\text{опт}} dt$ в исходный критерий

оптимальности фактически не меняет требований задачи, ибо по завершении переходных процессов переключения $\tau_1(t)$, $\tau_2(t)$ имеем $\dot{\tau}_1 = 0$, $\dot{\tau}_2 = 0$, что приводит к обнулению этих слагаемых.

Запишем гамильтониан вспомогательной задачи оптимизации:

$$H = \psi_{\theta} \frac{g}{V} (n_y - \cos \theta) + \psi_x V \cos \theta + \psi_y V \sin \theta + \psi_{\tau_1} w_1 + \psi_{\tau_2} w_2 +$$

$$+ \frac{1}{2} \mathbf{w}^T \cdot \mathbf{k}_w^{-2} \cdot \mathbf{w} + \frac{1}{2} \mathbf{w}_{\text{опт}}^T \cdot \mathbf{k}_w^{-2} \cdot \mathbf{w}_{\text{опт}}.$$

Система канонических уравнений имеет следующий вид:

$$\dot{\theta} = \frac{g}{V} \left(-n_{y_m} \operatorname{sgn}(\psi_{\theta_0}) + \Delta n_{y_1} l(t - \tau_1) + \Delta n_{y_2} l(t - \tau_2) - \cos \theta \right),$$

$$\dot{x} = V \cos \theta, \quad \dot{y} = V \sin \theta, \quad \dot{\tau}_1 = 0, \quad \dot{\tau}_2 = 0,$$

$$\dot{\psi}_{\theta} = -\psi_{\theta} \frac{g}{V} \sin \theta + \psi_x V \sin \theta - \psi_y V \cos \theta, \quad (7)$$

$$\dot{\psi}_x = 0, \quad \dot{\psi}_y = 0, \quad \dot{\psi}_{\tau_1} = \psi_{\theta} \frac{g}{V} \Delta n_{y_1} \delta(t, \tau_1), \quad \dot{\psi}_{\tau_2} = \psi_{\theta} \frac{g}{V} \Delta n_{y_2} \delta(t, \tau_2),$$

где $\delta(t, \tau_1)$, $\delta(t, \tau_2)$ — функции вида

$$\delta(t, t_1) = \frac{\partial l(t, t_1)}{\partial t_1} = \frac{k}{\pi (1 + k^2 (t - t_1)^2)}.$$

Из условия трансверсальности получаем

$$\Psi^T(t_f) = \frac{\partial F[X(t_f)]}{\partial X(t_f)}$$

или в развернутом виде

$$\Psi_{\theta}(t_f) = 0, \Psi_x(t_f) = -\cos \xi, \Psi_y(t_f) = -\sin \xi, \Psi_{\tau_1}(t_f) = 0, \Psi_{\tau_2}(t_f) = 0. \quad (8)$$

Составляющие вектора управления

$$w_1(t) = -k_{w_1}^2 \Psi_{\tau_1}(\tau_1), \quad w_2(t) = -k_{w_2}^2 \Psi_{\tau_2}(\tau_2). \quad (9)$$

Алгоритм вычисления сигнала управления с использованием прогнозирующей модели состоит из следующих действий.

1. Численное интегрирование системы уравнений (7) в прямом времени на интервале $[t, t_f]$ при начальных условиях $\mathbf{X}(t), \Psi(t)$ (на первом шаге $t = 0$).

2. По найденным значениям $\mathbf{X}(t_f)$ определение граничных условий (8) для $\Psi(t_f)$ при совместном решении в обратном времени системы уравнений (7) на интервале $[t, t_f]$ для нахождения $\Psi(t)$.

3. Вычисление составляющих вектора управления (9).

4. Интегрирование системы уравнений (5) при выбранных сигналах управления на один шаг, определение нового значения $\mathbf{X}(t)$.

5. Повторение процесса вычислений начиная с п. 1 до достижения конечного момента времени t_f .

Как видно из алгоритма, для определения сигнала управления не требуется решать двухточечную краевую задачу. Вычисления сводятся к решению двух задач Коши, решаемых в прямом и обратном времени соответственно.

На рис. 2—4 приведены графики, полученные для начальных условий движения ПА: $\xi = 20^\circ, V = 30$ м/с, $\theta_0 = 0, x_0 = 0, y_0 = -100$ м, $\tau_1 = 1$ с, $\tau_2 = 6$ с, $n_{y_m} = 3, k_{w_1}^2 = 0,2, k_{w_2}^2 = 0,3, t_f = 8$ с, шаг интегрирования 0,01 с.

На рис. 2 представлены траектория движения автоматического ПА и графики зависимости угла θ и сигнала управления n_y от времени t , полученные с использованием предлагаемого численного метода решения.

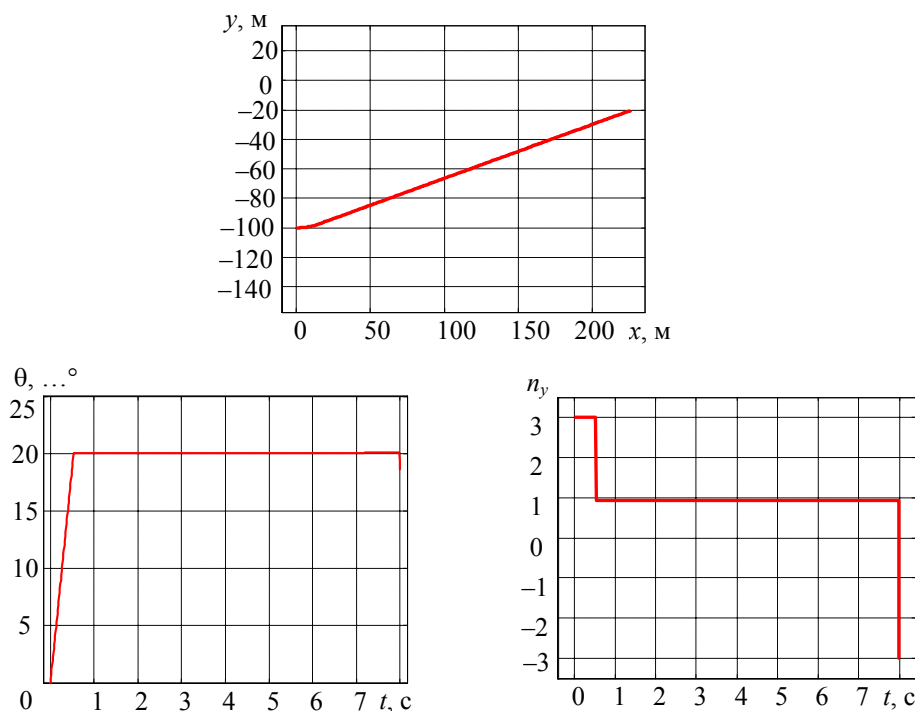


Рис. 2

На рис. 3 представлены графики зависимости управления моментами переключений τ_1 и τ_2 от времени, наглядно демонстрирующие, что момент τ_1 сходится к оптимальному значению, а τ_2 стремится к t_f , траектория как бы растягивается в прямую линию в целях достижения максимальной дальности.

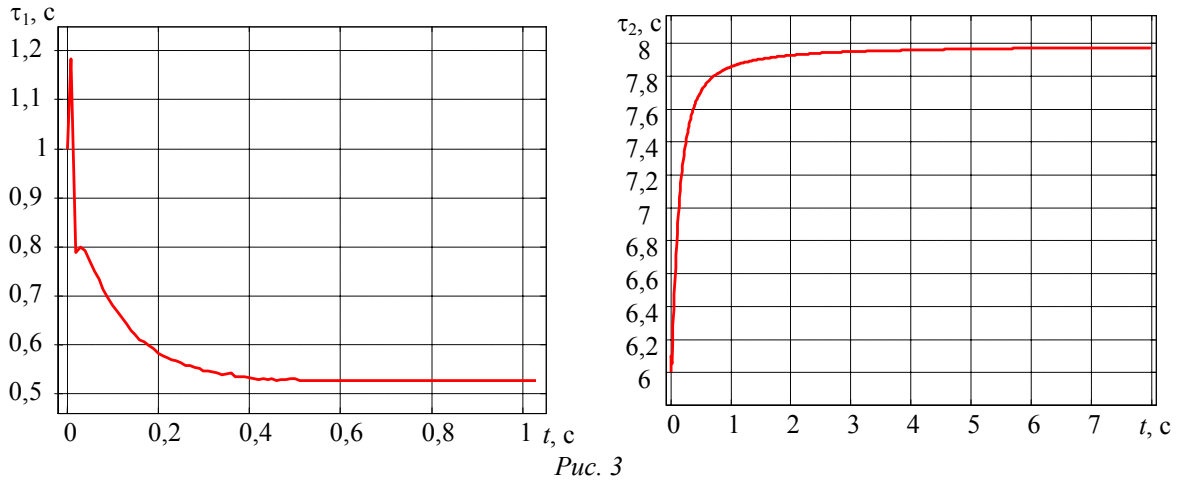


Рис. 3

Как видно из представленных графиков, фактически имеется только одно переключение τ_1 , что подтверждается физической сутью задачи.

График области достижимости при изменении угла ξ от -70° до 20° при начальных условиях, обозначенных выше, приведен на рис. 4.

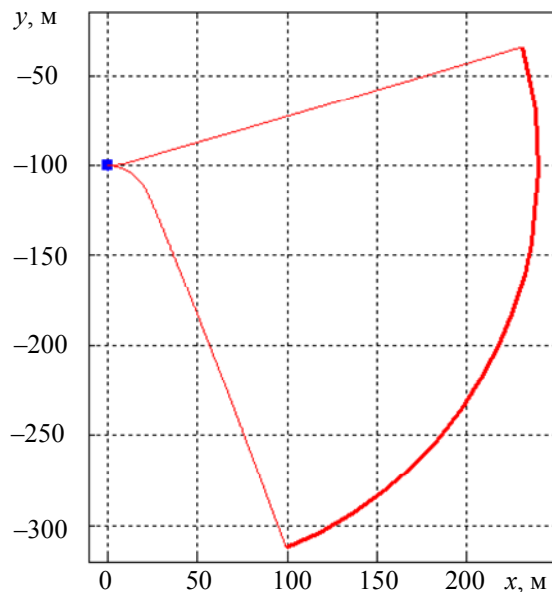


Рис. 4

Полученное решение можно использовать в качестве начального приближения для управления по методу Крылова — Черноусько, что сокращает число итераций при поиске оптимального управления. В рассматриваемых диапазонах изменения угла ξ использование такого начального приближения позволяет найти оптимальную программу для n_y за 1—2 итерации. Выбор начального приближения при $\tau_2 = t_f$ и неоптимальном значении τ_1 , отличающемся от оптимального на 1 с, приводит к решению за 8 итераций. В отличие от этого разработанный алгоритм коррекции структуры управления обеспечивает решение при произвольном выборе значений параметров τ_1 и τ_2 из интервала оптимизации.

Проведенные исследования показали устойчивую работу предложенного алгоритма при изменении условий задачи и начальных значений параметров системы управления. Алгоритм может быть применен и для построения вогнутой части границы области достижимости, а также для построения ее границ в пространстве при изменении скорости автоматического подводного аппарата, когда „особые“ управления определяются по более сложным зависимостям [4]. При этом объем вычислений изменяется незначительно, что позволяет осуществлять построение границы ОД в процессе движения.

СПИСОК ЛИТЕРАТУРЫ

1. Черноусько Ф. Л. Оценивание фазового состояния динамических систем. Метод эллипсоидов. М.: Наука, 1988. 319 с.
2. Красовский Н. Н. Игровые задачи о встрече движений. М.: Наука, 1970. 420 с.
3. Толтегин О. А. Области достижимости летательных аппаратов. СПб: БГТУ, 2002. 106 с.
4. Малышев В. В., Кабанов Д. С. Оптимизация траектории движения материальной точки в пространстве с использованием алгоритма с заданной программой прогноза движения при ограничениях на управление // Тез. докл. 15-й Междунар. конф. „Системный анализ, управление и навигация“. М.: Изд-во МАИ-ПРИНТ, 2009. С. 61—62.
5. Справочник по теории автоматического управления / Под ред. А. А. Красовского. М.: Наука, 1987. 712 с.
6. Малышев В. В. Методы оптимизации в задачах системного анализа и управления: Учеб. пособие. М.: Изд-во МАИ-ПРИНТ, 2010. 440 с.
7. Лебедев А. А., Чернобровкин Л. С. Динамика полета беспилотных летательных аппаратов. Учеб. пособие. М.: Машиностроение, 1973. 616 с.
8. Буков В. Н. Адаптивные прогнозирующие системы управления полетом. М.: Наука, 1987. 232 с.
9. Кабанов С. А. Управление системами на прогнозирующих моделях. СПб: Изд-во СПбГУ, 1997. 200 с.
10. Горбатенко С. А., Макашов Э. М., Полушкин Ю. Ф., Шефтель Л. В. Расчет и анализ движения летательных аппаратов: Инж. справочник. М.: Машиностроение, 1971. 352 с.
11. Федоренко Р. П. Приближенное решение задач оптимального управления. М.: Наука, 1978. 488 с.
12. Кабанов Д. С. Оптимальное управление ядерным реактором с учетом случайных возмущений // Изв. вузов. Приборостроение. 2009. Т. 52, № 5. С. 27—30.

Сведения об авторах

- Вениамин Васильевич Малышев** — д-р техн. наук, профессор; Московский авиационный институт (национальный исследовательский университет), кафедра системного анализа и управления; E-mail: veniaminmalyshev@mail.ru
- Дмитрий Сергеевич Кабанов** — аспирант; Московский авиационный институт (национальный исследовательский университет), кафедра системного анализа и управления; E-mail: kabanovds@mail.ru

Рекомендована кафедрой
системного анализа и управления

Поступила в редакцию
16.01.12 г.